# Результаты и задачи исследований динамических процессов в водородосодержащих средах с целью противодействия тяжёлым авариям на АЭС с ВВЭР

Е.В. Безгодов, А.С. Иванов, В.М. Крюков, В.А. Симоненко, О.В. Шульц, А.В. Павленко, А.В. Ушков, Д.В. Фролов, Т.В. Чапурова РФЯЦ-ВНИИТФ им. Е.И. Забабахина

# Содержание

- 1. Введение
- 2. Этапы развития тяжёлой аварии (ТА), требующие обеспечения водородной безопасности (ВБ). Условия ТА.
- 3. Стратификация водородосодержащих парогазовых составов (ВПГС)
- 4. Воспламенение
- 5. Горение: процессы, модели и коды
- 6. Проблемы создания моделей
- 7. Проблемы разработки кодов
- 8. Пути решения
- Заключение

# Введение

- 1. Основная часть энергии в ядерной энергетике производится на реакторах, у которых теплоносителем является лёгкая вода.
- 2. Самой большой опасностью для таких реакторов является осушение и сопутствующая ему деградация активной зоны (АЗ).
- 3. Это обусловливает развитие пароциркониевой реакции, которая приводит к выходу больших количеств водорода (около 1 т/ГВт эл.) в помещения защитной оболочки (30) реакторной установки (РУ).
- 4. В силу больших геометрических масштабов системы и большого диапазона значений физических параметров протекающих процессов полномасштабное экспериментальное изучение их невозможно.
- 5. Используется расчётно-экспериментальный подход.

- 6. Названный подход предполагает
  - 1. проведение модельных экспериментов,
  - 2. создание широкого класса теоретических моделей, охватывающих большой перечень физико-механических и химико-физических процессов,
  - 3. создание на их основе программных кодов,
  - 4. последующее проведение ресурсоёмких расчётов на мощных вычислительных комплексах.
- 7. В силу сложности моделируемых систем и моделей процессов, большого диапазона длительности их протекания (от микросекунд до десятков часов) сквозное математическое моделирование их фактически невозможно.

# Этапы ТА и модели

- 1. Поэтому создаются иерархически организованные модели. Адекватно им должны быть организованы и коды.
- 2. В моделях и кодах первого поколения рассматривались укрупнённо большие области (часто целые помещения), в которых среда характеризовалась однородными параметрами. В частности, при этом принимались значения концентрации водорода, усреднённые по большим объёмам.
- 3. В действительности во многих случаях истечение водородосодержащего состава происходит в шлейфовом режиме, что приводит к образованию стратифицированных слоёв с повышенным содержанием водорода в верхних частях помещений.
- 4. В случае воспламенения при таком неоднородном заполнении происходит интенсивное горение водородосодержащих парогазовых составов (ВПГС) в области с высоким содержанием водорода.
- 5. При достаточно высокой интенсивности горение приобретает характер взрыва, что может обусловить разгерметизацию защитной оболочки (30). Это будет сопровождаться выходом накопленных в АЗ радиоактивных продуктов за пределы АЭС. Именно в этом и заключается опасность тяжёлых аварий (ТА).

# Модели и эксперименты

- 1. Описание образования стратифицированных областей требует использования более совершенных кодов, в которых следует параллельно учитывать ряд важных процессов различные режимы заполнения помещений 30 парогазовыми составами, отток тепла в стенки, конденсацию паров воды, воздействие используемых средств предотвращения опасного развития процессов (спринклеров, рекомбинаторов, систем пассивного отвода тепла и др.).
- 2. Наиболее сложными являются процессы воспламенения, развития и распространения пламени, турбулизации возникающих течений, возможный переход горения в детонацию.
- 3. Для некоторых из них, в частности, для воспламенения и развития пламени с учётом различных механизмов неустойчивости, ещё нет достаточно полных теоретических моделей.
- 4. Для практических применений необходимо иметь коды, позволяющие описывать такие процессы.
- 5. Для калибровки теоретических моделей необходимо привлечение экспериментальных данных, полученных, в частности, и во ВНИИТФ.

# Методология создания моделей

- 1. Методология создания моделей заключается в выделении особых областей, в частности, фронта горения, областей (зон) конденсации пара; в создании методов достаточно полного описания физико-механических и химико-физических процессов, примыкающих к таким областям.
- 2. Особого внимания заслуживают процессы, протекающие в областях, примыкающих к фронту горения на этапе развития неустойчивостей, а также при повышении интенсивности горения и влиянии неоднородностей заполнения, что ведёт к турбулизации среды.
- 3. Такие процессы ведут к взрывному протеканию горения, к переходу в режим детонационной волны.
- 4. Эти особенности приводят к необходимости развития и использования более сложных теоретических моделей, алгоритмов и программных комплексов.
- 5. Обосновывать применимость таких сложных систем математического моделирования с неизбежностью приходится с привлечением результатов соответствующих экспериментов, подобие которых с процессами, характерными для ТА, обеспечивается близостью соответствующих безразмерных параметров.

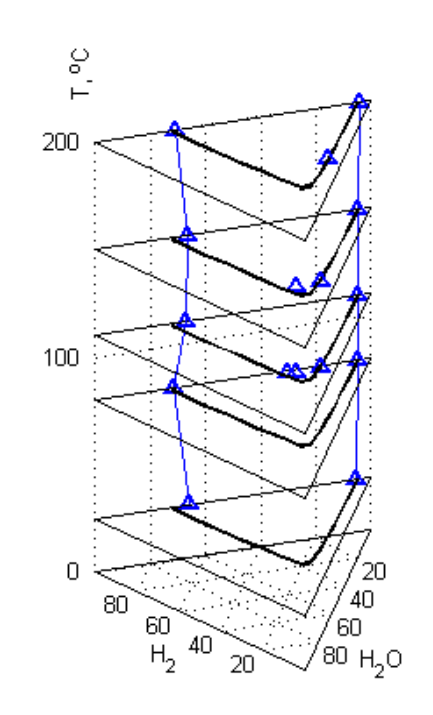
# Проблемы воспламенения. Использование результатов КЭИП

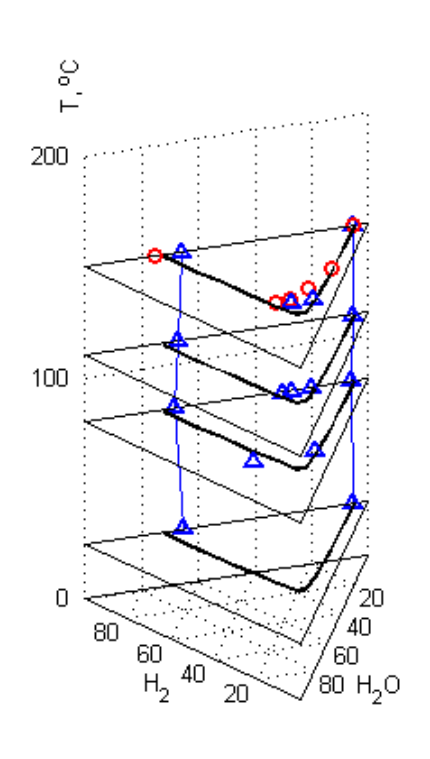
- 1. С использованием установки КЭИП были получены данные для концентрационных пределов воспламенения ВПГС во всём диапазоне изменения давлений и температур, характерных для ТА.
- 2. Установлено, что поверхность концентрационных пределов лежит внутри экстраполированной поверхности, построенной на основе зависимости предложенной Шапиро и Моффетти. Выявлена немонотонная зависимость от давления и температуры, поэтому целесообразно получить более точные данные для ПКПВ, по-видимому, используя расчётно-экспериментальный подход.
- 3. Аналогичный подход должен быть применён для расширенной среды, включающей также монооксид углерода.
- 4. Такая же технология должна быть использована при получении данных для поверхности концентрационных пределов воспламенения, изучения других пожароопасных составов.

# Модернизированная камера



Одна из камер установки КЭИП (V=7,8 л.)

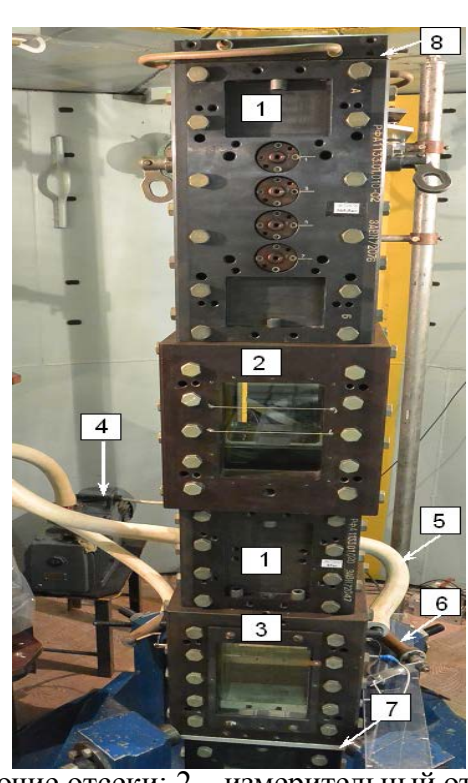




# Процессы горения. Опыты на установке МУТ

- 1. С использованием многофункциональной ударной трубы получены прецизионные данные для эволюции горения при разных составах сухих смесей водорода и воздуха вблизи нижнего концентрационного предела.
- 2. На установке МУТ проведено 79 экспериментов. Для каждого типа экспериментов изучалось протекание процессов при вертикальной и горизонтальной ориентациях каналов.
- 3. Установка оснащена высокоточными каналами оптической регистрации и регистрации давления.

# Многофункциональная ударная труба (МУТ)



11

1 – рабочие отсеки; 2 – измерительный отсек; 3 – измерительный отсек с инициирующими электродами; 4 – форвакуумный насос 2HBP-5ДМ; 5 – трубопровод системы вакуумирования и газонаполнения; 6 – токовый шунт; 7 и 8 – глухие стенки, ограничивающие рабочий объем МУТ; 9 – технологические отверстия, используемые для установки ионизационных датчиков

Стенд МУТ при вертикальном положении трубы. Снежинск, ЗНЧ-2019



1 – блок питания мановакууметра; 2 – вентиль отсекающий; 3 – мановакууметр ДМ - 5002; 4 – вентили наполнения; 5 – 10 литровый баллон со смесью  $\Gamma1$ ;

6 - 10 литровый баллон со смесью Г2; 7 - баллон с водородом;

8 – воздушный компрессор СО-7Б

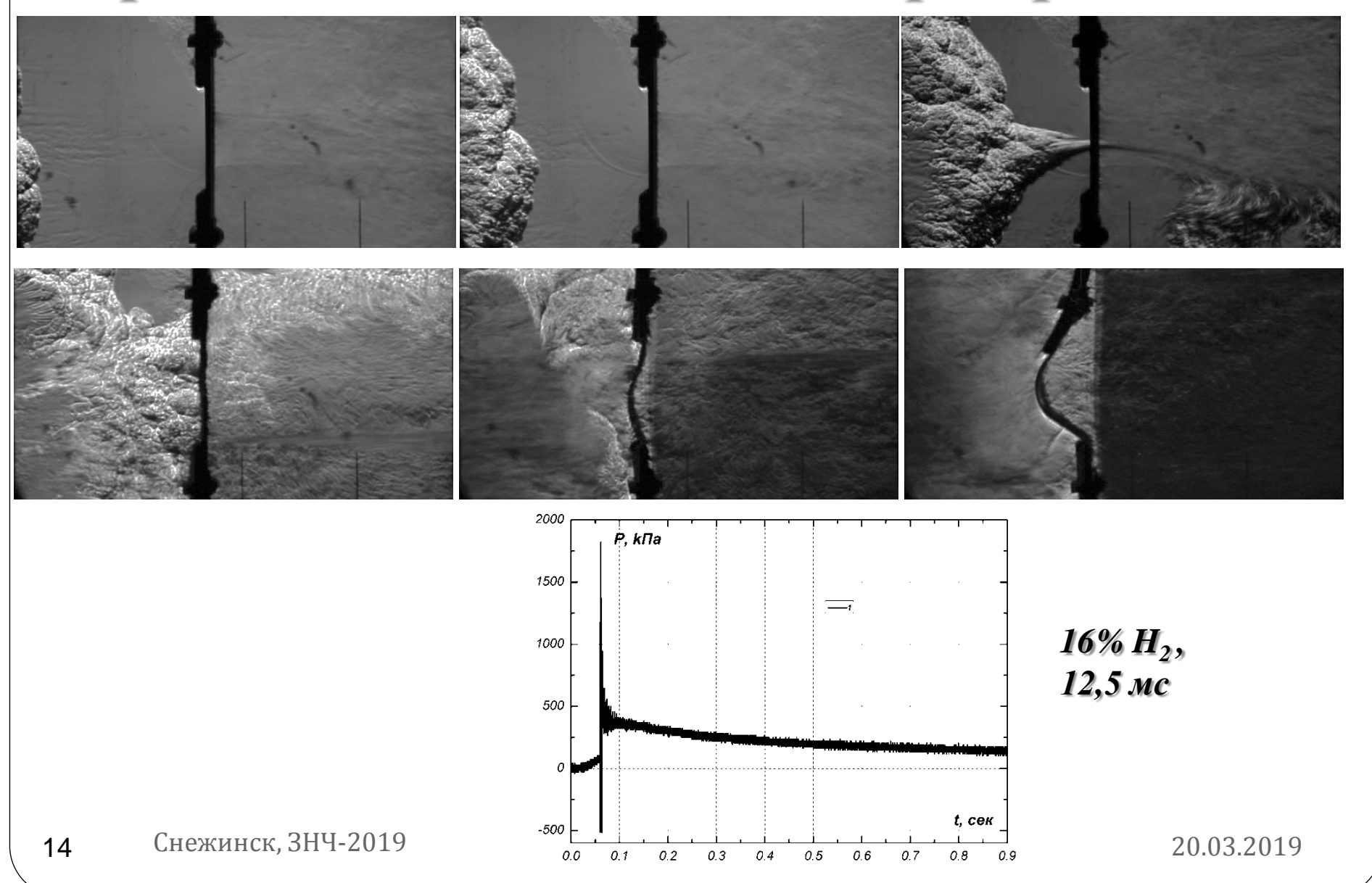
Внешний вид системы газонаполнения.

20.03.2019

- 1. Распространение горения в канале без перегородок при изменений концентрации водорода вблизи нижнего концентрационного предела воспламенения (от 6 до 16 мол. %).
- 2. В вертикальном канале со стороны низких концентраций (от 4% до примерно 7 % водорода), при концентрациях в окрестности 7% пламя поднимается вверх в виде горящего термика с ламинарным фронтом горения. а при более высоких концентрациях на фронте возникает и активно эволюционирует нерегулярная почкообразная структура.

- 1. В горизонтальном канале при малых концентрациях горящий термик поднимается к потолку (к верхней стенке канала) и блуждает вдоль неё. А при концентрациях более 10 мол. % также образуется почкообразная структура, которая, ускоряясь, удаляется от точки инициирования с опережением в верхней части структуры. При концентрациях водорода около 16 мол. % и выше такое опережение пропадает.
- 2. Аналогичные эксперименты проведены в канале, разделённом на два помещения перегородкой с проёмом. При низких концентрациях водорода (6 8 мол. %) для горизонтальной ориентации канала, перегородка может служить препятствием на пути распространения пламени. При концентрациях водорода около 10 мол. % и выше наличие перегородки существенно увеличивает турубулизацию среды в сопряжённом помещении. При переходе в него пламени скорость фронта возрастает в десятки раз.

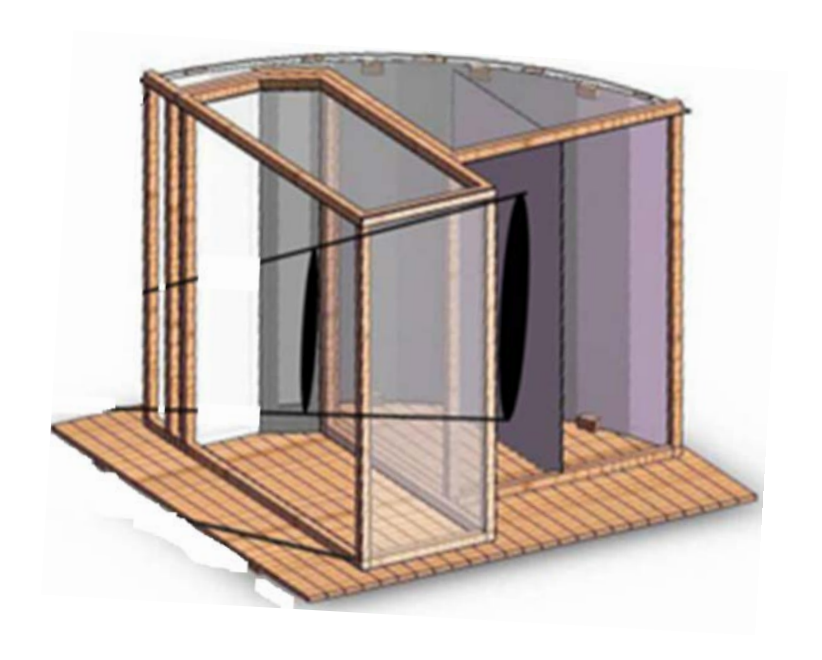
# Горизонтальный канал с перегородкой



# Установка БМ-Л

- 1. Из пяти серий экспериментов три были проведены в макете автономного помещения ПГ, а две с присоединенным макетом помещения ГЦН. Во всех экспериментах поддерживалась температура макета больше 100°С, подавался водяной пар и водород в соответствии с заданными сценариями. Выбирались режимы заполнения, при которых происходит стратификация водорода. Инициирование горения производилось в области с пониженным содержанием водорода.
- Была получена информация об изменении скорости пламени при движении первоначально в обеднённых водородом составах, а затем при переходе в обогащённую водородом область.
- 3. Было также обнаружено заметное влияние макета ПГ на скорость волны горения.
- 4. При наличии смежного помещения было зарегистрировано существенное ускорение пламени при переходе его через проёмы в стенке, как и в экспериментах на установке МУТ.

# Экспериментальная установка БМ-Л



макет ПГ САОЗ отражающая пленка

трубы для подачи разов в макет

Высота 1,7 м Объем  $\sim 4 \text{ м}^3$ 

Материал стенок – поликарбонат толщиной 5 мм. В полу макета отверстия для связи с атмосферой. Прозрачность стенок для визуального наблюдения за процессами.

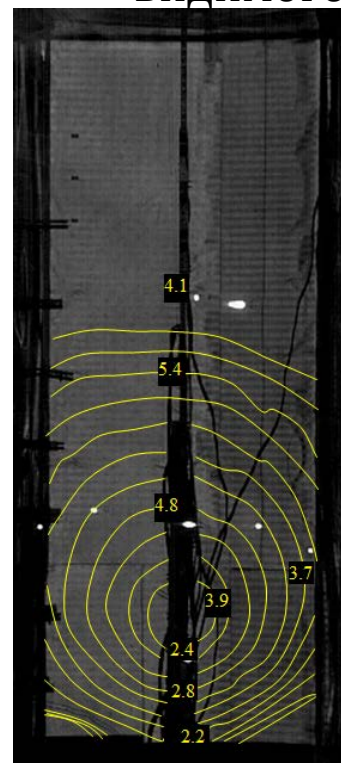
# Горение БМ-Л

Положение фронтов горения и значения скоростей

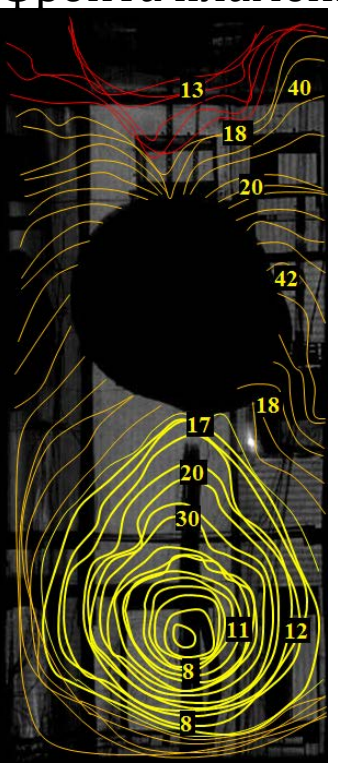
видимого фронта пламени



а) – БМ-Л1-5(2), шаг по времени 7,1 мс



б) – БМ-Л3-2(2), шаг по времени  $10\ \mathrm{mc}$ 



в) – БМ-Л5-2(2), шаг по времени 1,5 мс



г) – БМ-Л5-3(2), шаг по времени 19,2 мс

#### Параметры искры:

- энергия искры 50 мДж;
- искровой промежуток ≈1,0 мм;
- длительность искры

1,5 мс

Снежинск, ЗНЧ-2019

#### Установка БМ-П

- 1. Установка предназначена экспериментов и испытаний оборудования при температурах до 200 <sup>о</sup>С и статических давлениях до 0,5 МПа, характерных для ТА, и динамических давлений до 2 МПа в зависимости от характера нагружений.
- 2. Она оборудована системами нагрева и термостабилизации, подачи газовых сред различных составов, методиками для измерения статического и динамического давлений, температуры и влажности, отбора газовых проб, скоростной видеорегистрации, измерения скорости фронта пламени.
- 3. Установка состоит из двух камер. Их можно использовать автономно или совместно. В этом случае они соединяются цилиндрическим каналом с внутренним диаметром 50 см, который устанавливается на трёх высотах.
- 4. Каждая камера состоит из цилиндрической части высотой 4 м и двух эллиптических днищ. Днища приварены к примыкающим к ним секциям цилиндра. На трёх уровнях цилиндрической части камеры и на торцах верхней и нижней крышек расположены иллюминаторы.
- 5. Они используются либо для оптических измерений, либо для установки герморазъемов с кабелями используемых методик.

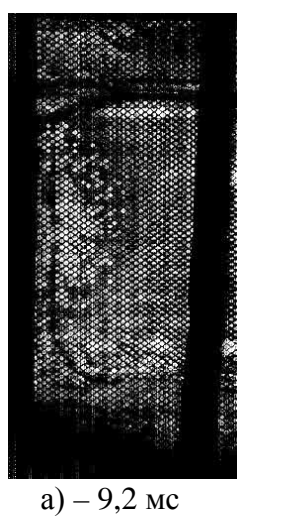
# Установка БМ-П





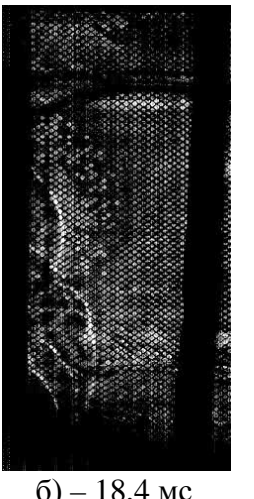
Параметры одной камеры: высота 5 м, диаметр 2 м, объем  $\sim$ 14,5 м $^3$ 

# БМ-П2-3 Распространение пламени



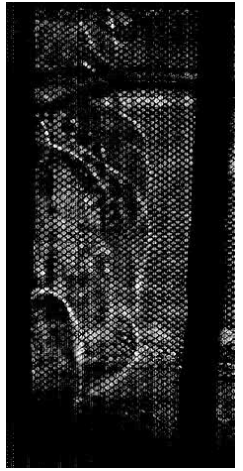


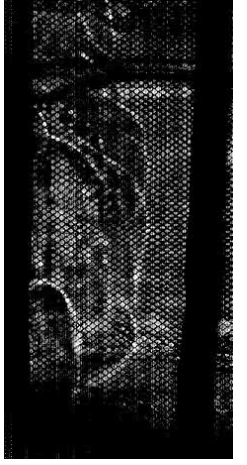
 $\Gamma$ ) – 36,8 MC

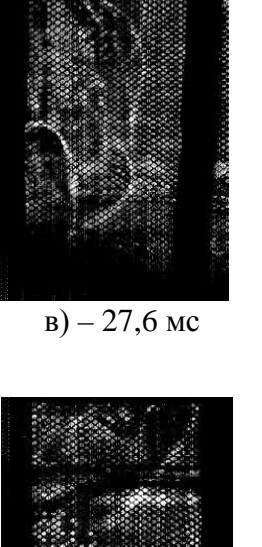


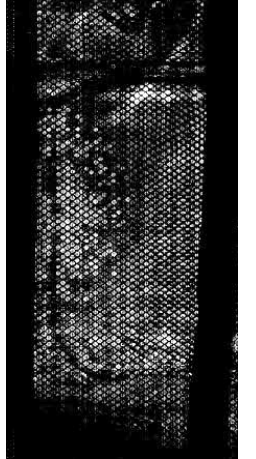
6) – 18,4 мс

д) - 46,0 мс

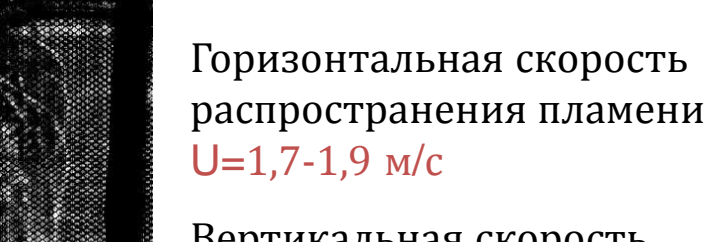




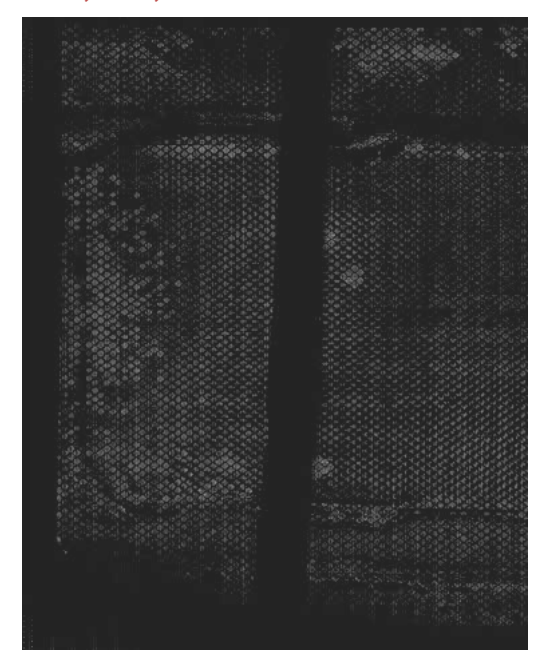




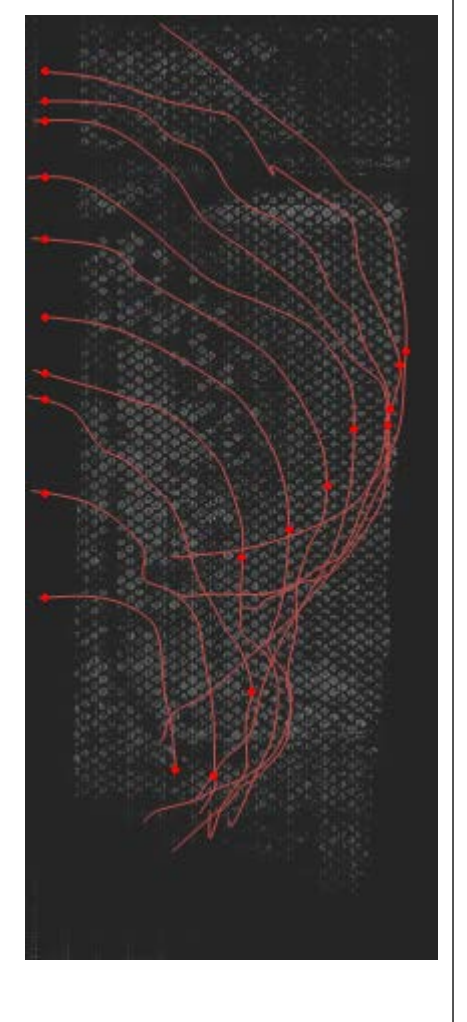
e) - 55,2 MC



Вертикальная скорость распространения пламени U=4,3-4,8 m/c



8116 fps



Снежинск, ЗНЧ-2019

# Некоторые результаты БМ-П

- 1. На установке БМ-П было проведено 5 серий экспериментов в постановке, аналогичной БМ-Л. Изучались процессы заполнения и стратификации газов в объемах моделей помещений 30, воспламенения ВПГС в выбранных точках стратифицированных слоёв, развития фронта пламени и распространения горения.
- 2. Наиболее яркими результатами являются: всплытие крупных термиков, воспламенение в верху и возврат вниз волны горения. Горение в связанных камерах.
- 3. Было проведено 3 дополнительных эксперимента.
- 4. Во всех экспериментах получены представительные экспериментальные данные. Они могут быть использованы как для развития теоретических моделей указанных процессов, так и для совершенствования существующих и перспективных проектных кодов и кодов нового поколения.

5. Сформулированы предложения о продолжении этих работ.

# Модели и коды

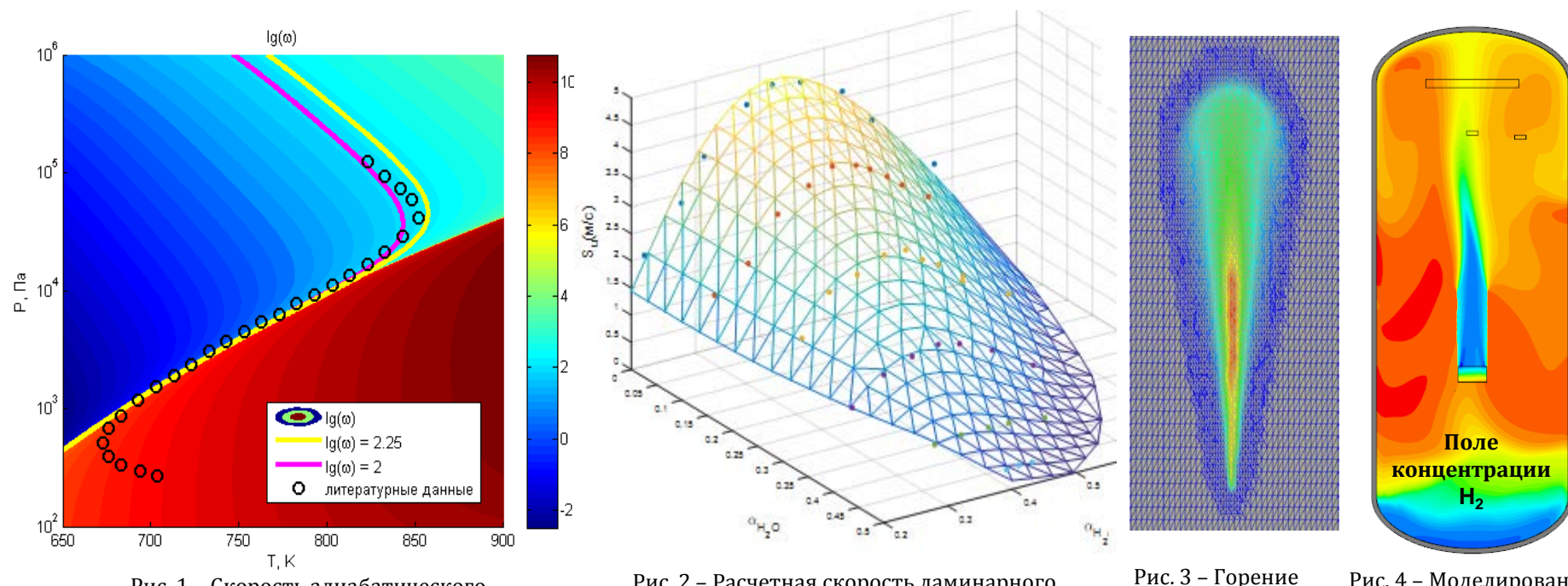


Рис. 1 – Скорость адиабатического саморазогрева: модель и литературные данные

Рис. 2 – Расчетная скорость ламинарного пламени (поверхность) и экспериментальные данные (точки)

Рис. 3 – Горение струи водорода в воздухе (адаптивная сетка)

Рис. 4 – Моделирование работы рекомбинатора в БМ-П

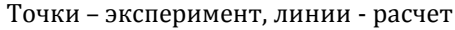
#### Создание и развитие моделей:

- Воспламенения и самовоспламенения (рис. 1);
- Горения и распространения пламени (рис. 2, 3);
- Работы катализатора/рекомбинатора (рис. 4).

#### Создание и развитие кодов:

Создание ЯРУС универсального кода ДЛЯ моделирования разновременных разномасштабных процессов, сочетающего CFD-кода преимущества И кода сосредоточенными параметрами (нет аналогов). Основа: открытый код OpenFoam.

# Расчётно-теоретическое обеспечение



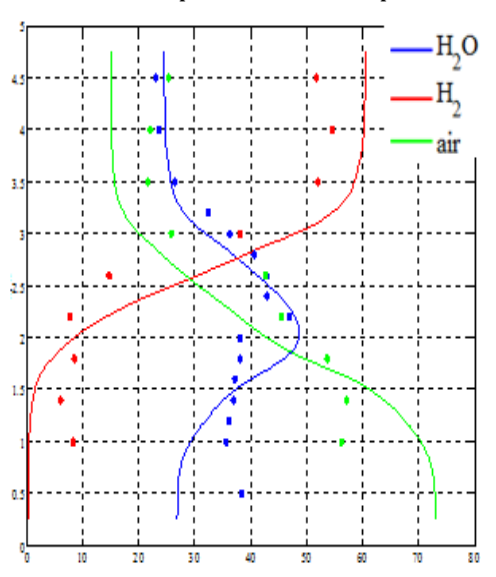


Рис. 1 – Сравнение данных по распределению состава в установке БМ-П и результатов расчета

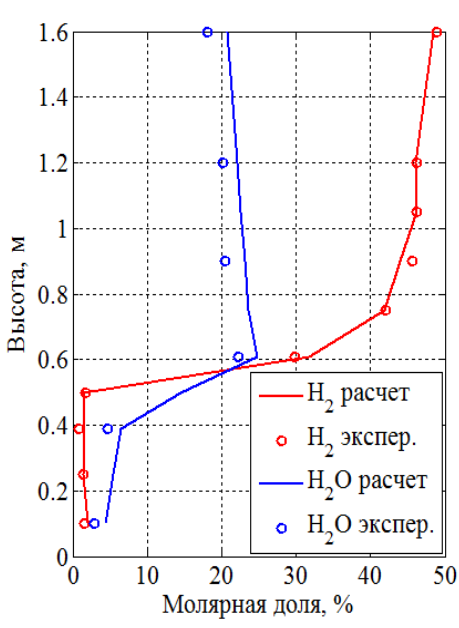
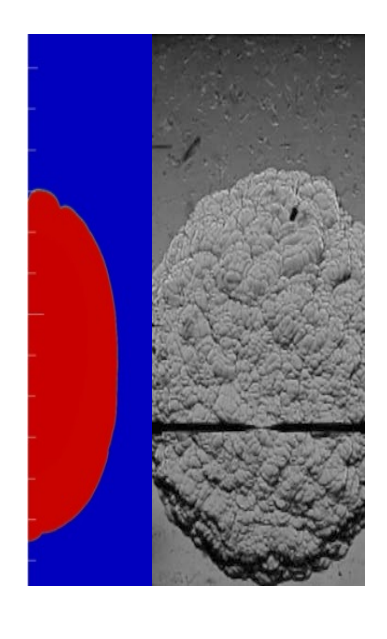


Рис. 2 – Сравнение экспер. и расчетных данных по составу газов с учтенными дефектами установки БМ-Л



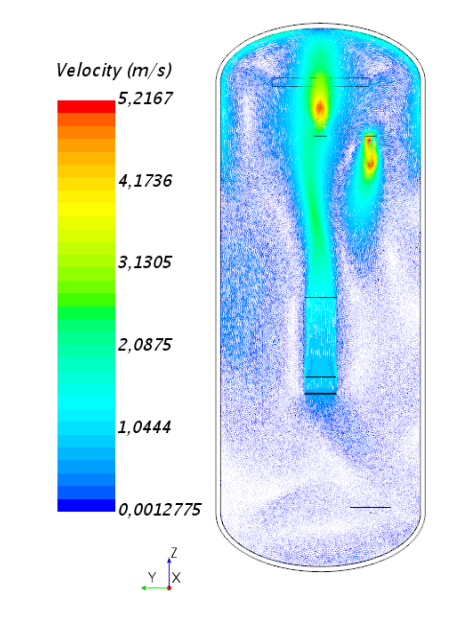


Рис. 3 – Горение 16 % водорода в Рис. 4 – Поля скоростей смеси при воздухе (МУТ) работе вентиляторов и рекомбинатора водорода в БМ-П

#### Применение и развитие расчетных инструментов:

- верификация и валидация CFD-методик (рис.1-3);
- обоснование и оптимизация экспериментальных программ и методик испытаний (рис. 4);
- прогнозирование результатов экспериментов, уточнение постановок испытаний (рис. 2, 4).

#### Используемые коды:

- 1. Star-CCM+
- 2. Cantera
- 3. OpenFOAM
- 4. ПК «ФОКУС»

# Развитие экспериментальной базы

- 1. 2019-2021гг.
  - 1. Дооснащение существующих установок и повышение возможностей и точностей методик измерений
  - 2. Проведение исследований в интересах испытания рекомбинаторов
- **2**. 2021-24 гг
  - 1.Создание новой установки (M=1:10)
  - 2. Расширение программ испытаний (полный макет, спринклеры, рекомбинаторы в динамике)

# Заключение

- 1. Учитывая сложность процессов, протекающих на водородной стадии развития ТА, целесообразно вести параллельное развитие кодов, на основе упрощённых моделей с сосредоточенными параметрами (АНГАР, Купол-М, Кортекс) и CFD кодов, основанных на «первопринципных» моделях описания протекающих процессов.
- 2. Экспериментальные данные, полученные на установке КЭИП, и накопленные в работах других исследователей позволяют создать приемлемую для реализации в современных кодах модель воспламенения водородосодержащих парогазовых составах.
- 3.Представляет интерес расширение модели воспламенения, учитывающее добавление в ВПГС как новых горючих компонентов (например, СО и др.), так и флегматизаторов (например, СО<sub>2</sub>). При этом начальная стадия развития пламени является существенной составляющей расширенной модели горения.
- 4. Заслуживает отдельного внимания выяснение рельефности поверхности воспламенения ВПГС. Поэтому созданную теоретическую модель и код целесообразно использовать для проверки этого результата и, в случае подтверждения его, для построения всей поверхности концентрационных пределов воспламенения.

- 5. Ценная экспериментальная информацию для построения и верификации моделей описания горения с ламирным пламенем и развития ламинарного фронта пламени при появлении различных неустойчивостей была получена в экспериментах на установке МУТ. Эти данные следует использовать для развития CFD-кодов.
- 6. Определённые трудности возникнут при описании развитых ячеистых (пузырьковых) структур в силу стохастичности их возникновения и эволюции. Предстоит создать технологии описания таких структур и создания соответствующих кодов.
- 7. Особую ценность представляют эксперименты с постановкой в канале установки МУТ перегородки с проёмом. В них наблюдается интенсивная турбулизация газового потока при прохождении проёма. В результате за проёмом стремительно возрастает скорость пламени, и горение приобретает объёмный характер.

- 8. В экспериментах на больших макетах установка БМ-П (прочный) и БМ-Л (непрочный) были получены данные о стратификации ВПГС при заполнении.
- 9. Полнота и глубина теоретических моделей гораздо лучше достигается, если их развитие будет сопровождаться специализированной программой экспериментальных работ.
- 10. Представляет заслуженный интерес создание новой прочной установки БМ-ПУ увеличенного размера (диаметром Xм. и высотой Ум.). При формировании в БМ-ПУ структуры помещений подобной 3О будет обеспечены более адекватная постановка и проведение уникальных экспериментов для верификации моделей и кодов с учетом масштабирования расчетов до размеров 3О АЭС.

